

WPLYW PARAMETRU WZMOCNIENIA NA ZACHOWANIE SIĘ
GRUBOŚCIENNEJ SPRĘŻYSTO-PLASTYCZNEJ KULI
OBCIĄŻONEJ GRADIENTEM TEMPERATURY

ZDZISŁAW ŚLÓDERBACH

TADEUSZ SAWICKI

ZMOC — ZTK, IPPT PAN

Warszawa,

Oznaczenia i skróty

- $\bar{\varepsilon}_r, \bar{\varepsilon}_\theta$ — składowe tensora odkształcenia
 σ_r, σ_θ — składowe tensora naprężenia
 ε_p — zredukowane (zastępcze) odkształcenie plastyczne
 r — promień bieżący kuli
 r_c — promień strefy sprężysto-plastycznej
 a — promień wewnętrzny kuli
 b — promień zewnętrzny kuli
 T — temperatura bieżąca (na promieniu bieżącym)
 T_a — temperatura na promieniu wewnętrznym
 T_b — temperatura na promieniu zewnętrznym
 σ_0 — początkowa granica plastyczności
 σ_e — naprężenie zredukowane według hipotezy H-M-H
 r_e — promień bieżący w sprężystej części kuli
 E — moduł sprężystości Younga
 E^T — moduł wzmocnienia plastycznego

Wielkości bezwymiarowe

- m — liniowy parametr wzmocnienia
 ϱ — promień bieżący
 ϱ_c — promień strefy sprężysto-plastycznej
 β — parametr geometrii kuli
 β_c — parametr geometrii kuli dla strefy sprężysto-plastycznej
 ϱ_e — promień bieżący w części sprężystej kuli
 S_r, S_θ — składowe tensora naprężenia
 $\varepsilon_r, \varepsilon_\theta$ — składowe tensora odkształcenia

- τ — temperatura bieżąca
- ε^p — zastępcze odkształcenie plastyczne
- ε_p^0 — część plastyczna składowej obwodowej i promieniowej tensora odkształcenia
- S_{rc} — składowa promieniowa tensora naprężenia działająca na promieniu ϱ_c
- τ_0 — temperatura na promieniu wewnętrznym kuli
- τ_c — temperatura na promieniu strefy sprężysto-plastycznej
- τ_{0c} — temperatura na promieniu wewnętrznym potrzebna do uplastycznienia kuli do promienia ϱ_c

1. Wstęp

Celem pracy jest zbadanie wpływu współczynnika wzmocnienia na zachowanie się grubościennej, sprężysto-plastycznej kuli obciążonej gradientem temperatury. Analizuje się wpływ parametru wzmocnienia m na rozkład temperatur, odkształceń, naprężeń (w tym również naprężeń resztkowych po procesie czysto sprężystego odciążenia) oraz na położenie strefy sprężysto-plastycznej. Określa się również wartości krytyczne parametru geometrii ($\beta = b/a$) dla przypadku gdy druga strefa plastyczna rozpoczyna się na zewnętrznym promieniu badanej kuli.

Naprężenia i odkształcenia w kuli spowodowane są polem temperatury — por wyr. (2.8). Tak określony rozkład temperatur był już cytowany w literaturze, np. w pracach [1]÷[5]. Powierzchnia zewnętrzna kuli posiada stałą temperaturę i bez tracenia ogólności rozwiązania przyjęto ją jako równą zero, por. np. [5]. Powierzchni wewnętrzna i zewnętrzna kuli wolne są od obciążeń mechanicznych, np. ciśnieniem. Zakłada się, że kula jest w początkowym stanie jednorodna i wolna od naprężeń resztkowych. Materiał kuli przyjęto jako sprężysto-plastyczny z liniowym wzmocnieniem oraz nieściśliwy plastycznie. Maksymalna wartość parametru wzmocnienia m użyta w pracy wynosi 0.4 i wartość taka była już przyjmowana w literaturze, np. w [6]. Jako warunek plastyczności przyjęto hipotezę Hubera-Misesa, przy czym założono, że granica plastyczności nie zależy od temperatury. Do analizy powyższego zagadnienia przyjęto teorię małych odkształceń w stosunkowo dużym zakresie zmian temperatur. Zakłada się, że ciepło powstałe podczas procesu deformacji nie zmienia pola temperatur, co wiąże się z wykorzystaniem równań konstytutywnych niesprężonej termosprężystości i termoplastyczności. Zakłada się ponadto, że wartości stałych materiałowych nie ulegają zmianie.

Dalszych badań wymaga przypadek gdy na zewnętrznym promieniu kuli rozpoczyna się propagacja drugiej strefy plastycznej. Przypadek taki omawia się w pracy [5] lecz dla materiału bez wzmocnienia. Bardziej ogólną analizę sprężysto-plastycznych kul dla materiału ze wzmocnieniem, przeprowadzić można podobnie jak w pracach [3], [4], dodając do obciążenia termicznego obciążenie ciśnieniem wewnętrznym o stosunkowo dużym zakresie zmian. Można by w ten sposób sporządzić odpowiednie trójparametrowe nomogramy w miejsce dotychczasowych dwuparametrowych. Rolę trzeciego parametru odgrywałby współczynnik wzmocnienia m . Problem analizy grubościennych sprężysto-plastycznych kul jest licznie cytowany w literaturze, por. np. [2]÷[16].

Nowe wyniki otrzymane w niniejszej pracy na drodze numerycznej przedstawiono w postaci odpowiednich wykresów i tabel.

2. Podstawowe równania wyjściowe

Wykorzystując prawa symetrii kulistej równania zapiszemy we współrzędnych sferycznych: promieniowych r , obwodowych θ , oraz w odpowiednich wielkościach bezwymiarowych.

Równania równowagi i nierozdzielności odkształceń wyglądają następująco:

$$\frac{dS_r}{d\varrho} + \frac{2(S_r - S_\theta)}{\varrho} = 0, \quad (2.1)$$

$$\frac{d\varepsilon_\theta}{d\varrho} + \frac{\varepsilon_\theta - \varepsilon_r}{\varrho} = 0. \quad (2.2)$$

Zakładając nieściśliwość plastyczną materiału, otrzymamy:

$$\varepsilon_r^p + 2\varepsilon_\theta^p = 0. \quad (2.3)$$

Warunek plastyczności H-M-H ma postać,

$$|S_r - S_\theta| = |S|, \quad (2.4)$$

gdzie:

$$\varepsilon^p \neq 0 \quad \text{dla} \quad |S| > 1$$

$$\varepsilon^p = 0 \quad \text{dla} \quad |S| \leq 1.$$

Warunek $|S| = 1$ określa początkową granicę plastyczności przy prostym rozciąganiu lub ściskaniu. Odkształcenie zastępcze ε^p , po uwzględnieniu (2.3) jest następujące,

$$\varepsilon^p = |\varepsilon_r^p|. \quad (2.5)$$

Związki konstytutywne wyglądają następująco:

$$\begin{aligned} \varepsilon_r &= S_r - 2\nu S_\theta + (1-\nu)\tau + \varepsilon_r^p \\ \varepsilon_\theta &= (1-\nu)S_\theta - \nu S_r + (1-\nu)\tau + \varepsilon_\theta^p \end{aligned} \quad (2.6)$$

Równania plastycznego płynięcia Prandtla-Reussa dla przyjętego w pracy monotonicznego obciążenia gradientem temperatury, po scałkowaniu przyjmują postać następującą [2],

$$\varepsilon_r^p = \varepsilon^p \frac{S_r - S_\theta}{|S_r - S_\theta|} = \varepsilon^p \operatorname{sgn}(S_r - S_\theta). \quad (2.7)$$

Równanie dla pola temperatury przyjęto w następującej formie, por. np. [2] ÷ [5], [10] ÷ [11]:

$$\tau = \frac{\tau_0}{\beta - 1} \left(\frac{\beta}{\varrho} - 1 \right), \quad \text{dla} \quad T_b = 0, \quad (2.8)$$

gdzie:

$\tau_0 = \frac{E\alpha T_a}{(1-\nu)\sigma_0}$ — jest bezwymiarową temperaturą działającą na wewnętrznej powierzchni kuli, oraz:

$$\begin{aligned} \beta &= \frac{b}{a}, \quad \varrho = \frac{r}{a}, \quad S_r = \frac{\sigma_r}{\sigma_0}, \quad S_\theta = \frac{\sigma_\theta}{\sigma_0}, \\ \varepsilon_r &= \frac{E\bar{\varepsilon}_r}{\sigma_0}, \quad \varepsilon_\theta = \frac{E\bar{\varepsilon}_\theta}{\sigma_0}, \quad \tau = \frac{E\alpha T}{(1-\nu)\sigma_0}. \end{aligned} \quad (2.9)$$

Jak wiadomo w przypadku symetrii kulistej warunki plastyczności Huberta-Misesa i Treski pokrywają się, więc z (2.4) otrzymać można następujące wyrażenie,

$$S = S_{\theta} - S_r. \quad (2.10)$$

3. Wyprowadzenie podstawowych równań

Z analizy przeprowadzonej w pracach [3], [4], [11] oraz z przesłanek fizycznych wynika, że pierwsza strefa plastyczna pojawi się zawsze na wewnętrznym promieniu ($\varrho = 1$) dla kul obciążonych tylko promieniowym gradientem temperatury.

Podstawiając równanie konstytutywne (2.6) do związku nierozdzielności (2.2), wykorzystując równanie równowagi (2.1) oraz przeprowadzając całkowanie otrzyma się następujące równania, por. [2]:

$$S_r = -\frac{2}{\varrho^3} \int_1^{\varrho} \xi^2 \tau(\xi) d\xi + \frac{1}{1-\nu} \int_1^{\varrho} \frac{\varepsilon_r^p}{\xi} d\xi + \left(1 - \frac{1}{\varrho^3}\right) C_1, \quad (3.1)$$

$$S_{\theta} = -\tau(\varrho) + \frac{1}{\varrho^3} \int_1^{\varrho} \xi^2 \tau(\xi) d\xi + \frac{1}{2(1-\nu)} \varepsilon_r^p + \frac{1}{1-\nu} \int_1^{\varrho} \frac{\varepsilon_r^p}{\xi} d\xi + \left(1 + \frac{1}{2\varrho^3}\right) C_1.$$

Po uwzględnieniu (2.10) oraz (3.1), otrzyma się,

$$S = -\tau + \frac{3}{\varrho^3} \int_1^{\varrho} \xi^2 \tau(\xi) d\xi + \frac{\varepsilon_r^p}{2(1-\nu)} + \frac{3}{2\varrho^3} C_1. \quad (3.2)$$

Stałą całkowania C_1 wyznacza się z następujących warunków brzegowych:

$$S_r(1) = 0, \quad S_r(\beta) = 0. \quad (3.3)$$

skąd,

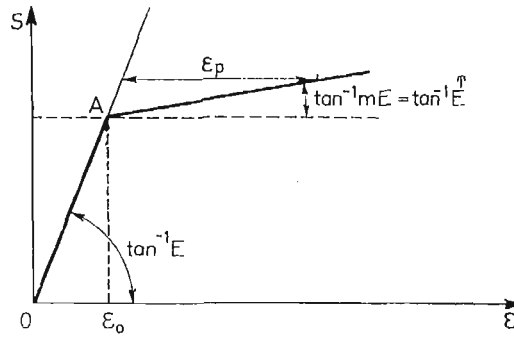
$$C_1 = \frac{\beta^3}{\beta^3 - 1} \left[\frac{2}{\beta^3} \int_1^{\beta} \xi^2 \tau(\xi) d\xi - \frac{1}{1-\nu} \int_1^{\beta} \frac{\varepsilon_r^p}{\xi} d\xi \right]. \quad (3.4)$$

Oznaczmy symbolem τ'_{0c} temperaturę przyłożoną na wewnętrznej powierzchni kuli ($\varrho = 1$) i potrzebną do pierwszego uplastycznienia tej powierzchni. Wówczas po przekroczeniu tej temperatury strefa sprężysto-plastyczna osiągnie promień oznaczony ϱ_c , a odpowiadającą mu temperaturę na wewnętrznym promieniu oznaczmy przez τ_{0c} . Wewnątrz strefy plastycznej $1 \leq \varrho \leq \varrho_c$ warunek plastyczności (2.4) jest spełniony, zatem obwodowe naprężenia S_{θ} będą większymi a promieniowe naprężenia S_r będą mniejszymi naprężeniami ściskającymi. Stąd, por. [2] ÷ [5]:

$$\begin{aligned} S_{\theta} - S_r &< -1 & \text{dla } 1 \leq \varrho < \varrho_c, \\ S_{\theta} - S_r &= -1 & \text{dla } \varrho = \varrho_c. \end{aligned} \quad (3.5)$$

Przyjmując liniowy charakter wzmocnienia plastycznego materiału przedstawiony w zmienionych — (S , ε^p) — rys. 1, por. np. [2], możemy napisać,

$$\varepsilon^p = \frac{1-m}{m} (|S| - 1), \quad (3.6)$$



Rys. 1. Krzywa naprężenie-odkształcenie dla liniowego wzmocnienia

gdzie $m = E^T/E$ jest parametrem liniowego wzmocnienia materiału. Wówczas z zależności (2.4), (2.7), (3.5), wyznaczyć można następujący związek,

$$\varepsilon_r^p = \frac{m-1}{m} (S+1), \quad \text{dla} \quad \frac{S}{|S|} = -1, \quad (3.7)$$

ostatecznie z (2.1), (2.10) i (3.7) otrzymamy:

$$\int_1^{\rho} \frac{\varepsilon_r^p}{\xi} d\xi = \begin{cases} \frac{m-1}{m} \ln \rho + \frac{m-1}{2m} S_r(\rho) & \text{dla } \rho < \rho_c, \\ \frac{m-1}{m} \ln \rho_c + \frac{m-1}{2m} S_r(\rho_c) & \text{dla } \rho \geq \rho_c, \end{cases} \quad (3.8)$$

gdzie: $S_r(\rho) = S_r$, $S_r(\rho_c) = S_{rc}$.

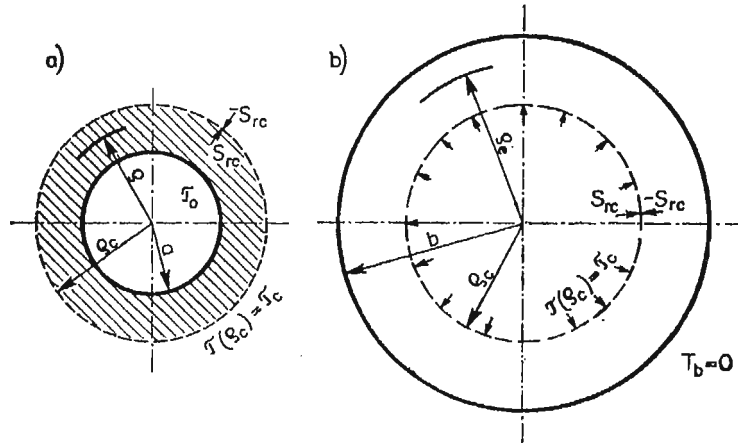
Aby wyznaczyć rozkład temperatury τ , który z kolei pozwoli określić stan naprężenia, deformacji oraz krytyczne wartości parametru geometrii kuli β , należy z równań (3.1), (3.2), (3.4) i (3.8) wyznaczyć stałą C_1 , naprężenie S_{rc} oraz temperaturę τ_{0c} . W tym celu uwzględnić się również następujący warunek brzegowy,

$$S = -1 \quad \text{dla} \quad \rho = \rho_c. \quad (3.9)$$

Stałą C_1 wyznaczyć można po podstawieniu warunku brzegowego (3.9) do równania (3.2). Następnie porównując tak wyznaczoną wartość C_1 ze wzorem (3.4) i po uwzględnieniu w nim wyrażenia (3.8) po przekształceniach otrzymamy:

$$\frac{\beta^3}{\beta^3-1} \left[\frac{2}{\beta^3} \int_1^{\beta} \rho^2 \tau(\rho) d\rho - \frac{m-1}{1-\nu} \left(\ln \rho_c + \frac{1}{2} S_r(\rho_c) \right) \right] = \frac{2}{3} \rho_c^3 \left[\tau(\rho_c) - \frac{3}{\rho_c^3} \int_1^{\rho_c} \rho^2 \tau(\rho) d\rho - 1 \right]. \quad (3.10)$$

Aby określić z zależności (3.10) wartość τ_{0c} , należy wcześniej wyznaczyć zależność $S_r(\rho_c) = S_{rc}$. W tym celu w kuli uplastycznionej do promienia $\rho = \rho_c$ rozpatrzmy kulę z wewnętrznym promieniem ρ_c i parametrem geometrii β_c znajdującą się w stanie sprężystym —



Rys. 2. Schemat kuli z dwiema strefami rozdzielonymi powierzchnią: strefą plastyczną do (i strefą sprężystą powyżej)

rys. 2. Dla kuli zewnętrznej — sprężystej, wprowadzić należy nowe bezwymiarowe wielkości analogiczne jak w (2.9), mianowicie:

$$\beta_c = \frac{b}{r_c} = \frac{\beta}{\varrho_c}, \quad \varrho_c = \frac{r_c}{a}, \quad \varrho_e = \frac{r_e}{r_c}, \quad (3.11)$$

$$\tau_e = \frac{\tau_c}{\beta_c - 1} \left(\frac{\beta_c}{\varrho_e} - 1 \right), \quad \tau_c = \tau(\varrho_c), \quad \text{gdzie } \varrho_c \leq \varrho_e \leq \beta.$$

Rozpisując równania termosprężystości, por. [2] ÷ [5], [16] ÷ [20] oraz uwzględniając (3.11), otrzymamy równania dla sprężystej części kuli analogiczne do równań (3.1), wiedząc, że $\varepsilon^p = 0$. Wykorzystując następnie te równania, warunek brzegowy oraz biorąc pod uwagę parametry (3.11) otrzymać można dla sprężystej części kuli następujące wyrażenie,

$$S_{rc} = \frac{2(\beta_c^3 - 1) - \tau_c \beta_c (2\beta_c^2 - \beta_c - 1)}{3\beta_c^3}, \quad (3.12)$$

gdzie $\tau_c = \frac{\tau_{0c}}{\beta - 1} (\beta_c - 1)$. Jest to wyrażenie na naprężenie promieniowe na promieniu ϱ_c kuli, natomiast dla kuli sprężystej jest to ciśnienie wewnętrzne działające wraz z temperaturą τ_c . Podstawiając wyrażenie (3.12) do równości (3.10) i uwzględniając wyrażenie (2.8) po wykonaniu operacji całkowania oraz po żmudnych przekształceniach otrzymamy następujące wyrażenie na τ_{0c} :

$$\tau_{0c} = \frac{A - B}{C - D + F}, \quad (3.13)$$

gdzie:

$$\begin{aligned} A &= 2\beta^3(\beta - 1) \cdot (m - 1) \cdot (3\beta_c^3 \ln \varrho_c + \beta_c^3 - 1), \\ B &= 4\varrho_c^3(\beta^3 - 1) \cdot (1 - \nu) m \beta_c^3 (\beta - 1), \\ C &= \beta^3(m - 1) \beta_c \cdot (2\beta_c^3 - 3\beta_c^2 + 1), \\ D &= 2(\beta^3 - 1) \cdot (1 - \nu) m \beta_c^3 \{ 2\varrho_c^3(\beta_c - 1) - [3\beta(\varrho_c^2 - 1) - 2(\varrho_c^3 - 1)] \}, \\ F &= 2(1 - \nu) m (\beta - 1) \beta_c^3 (\beta^2 + \beta - 2). \end{aligned}$$

Kładąc w wyrażeniu na τ_{0c} — (3.13) wartość współczynnika wzmocnienia $m = 0$, otrzymać można następujące równanie, analogiczne do równania przedstawionego w pracy [5] oraz [3], mianowicie:

$$\tau_{0c}|_{m=0} = \frac{2(\beta-1) \cdot (3\beta_c^3 \ln \varrho_c + \beta_c^3 - 1)}{\beta_c(2\beta_c^3 - 3\beta_c^2 + 1)}, \quad (3.14)$$

z tym, że wyrażone w odpowiednio innych parametrach. Podstawiając zaś do wyrażenia (3.13) wartość $\varrho_c = 1$ i uwzględniając wielkości (3.11) po przekształceniach otrzymamy:

$$\tau_{0c}|_{\varrho_c=1} = \tau'_{0c} = \frac{2(\beta^2 + \beta + 1)}{\beta(2\beta + 1)}. \quad (3.15)$$

Jest to wyrażenie określające temperaturę potrzebną do zapoczątkowania pierwszego plastycznego płynięcia na wewnętrznej powierzchni kuli. Tego rodzaju zależność była już wyprowadzona w pracach [2], [5] dla przypadku materiału bez wzmocnienia. W przypadku zewnętrznej — sprężystej części kuli (rys. 2) określonej bezwymiarowymi wielkościami (3.11) i w przypadku obciążenia jej tylko gradientem temperatury ($S_{rc} = S_{\theta c} = 0$), analogiczne wyrażenie otrzyma się kładąc do (3.15) zamiast β odpowiednio β_c . Należy podkreślić w zakończeniu tego punktu, że wyprowadzone równania i warunki słuszne są tylko do momentu pojawienia się drugiej strefy plastycznej na promieniu zewnętrznym kuli.

3.1. Analiza strefy plastycznej ($1 \leq \varrho \leq \varrho_c$). Stan naprężenia określa się na podstawie równań (3.1) w których uwzględnić należy wyrażenia (2.8), (3.8), (3.13) oraz stałą całkowania C_1 , którą z kolei otrzymamy z równania (3.2) po uwzględnieniu (2.8) i (3.9). Wyniesie ona,

$$C_1 = \tau_{0c} \left\{ \frac{2}{3} \frac{\varrho_c^3}{\beta-1} (\beta_c - 1) - \frac{2}{\beta-1} \left[\frac{1}{2} \beta (\varrho_c^2 - 1) - \frac{1}{3} (\varrho_c^3 - 1) \right] \right\} - \frac{2}{3} \varrho_c^3. \quad (3.16)$$

Rozkład deformacji wyznaczmy z równań (2.6), (2.10), (3.7) po uprzednim określeniu stanu naprężenia — S_r , S_θ , S . Rozkład temperatury, po obliczeniu wartości τ'_{0c} (temperatura przyłożona do wewnętrznej powierzchni w chwili gdy rozpoczyna się drugie plastyczne płynięcie na zewnętrznym promieniu kuli) wyznaczyć należy z (2.8). Naprężenia reszkowe pozostałe po procesie sprężystego odciążenia, znajdziemy z następujących związków, por. [2], [3]:

$$S'_r = S_r + S''_r, \quad S'_\theta = S_\theta + S''_\theta, \quad (3.17)$$

gdzie:

$$S''_r = 2 \frac{\varrho^3 - 1}{\varrho^3(\beta^3 - 1)} \int_1^\beta \xi^2 \tau(\xi) d\xi - \frac{2}{\varrho^3} \int_1^\varrho \xi^2 \tau(\xi) d\xi,$$

$$S''_\theta = \frac{2\varrho^3 + 1}{\varrho^3(\beta^3 - 1)} \int_1^\beta \xi^2 \tau(\xi) d\xi + \frac{1}{\varrho^3} \int_1^\varrho \xi^2 \tau(\xi) d\xi - \tau(\varrho),$$

$$\tau = -\frac{\tau_{0c}}{\beta-1} \left(\frac{\beta}{\varrho} - 1 \right), \quad C'_1 = \frac{2}{\beta^3 - 1} \int_1^\beta \xi^2 \tau(\xi) d\xi.$$

3.2. Analiza strefy sprężystej ($\varrho_c \leq \varrho \leq \beta$). Stan naprężenia określimy z równań (3.1), w których odpowiednio uwzględnia się wyrażenia (2.8), (3.8), (3.12), (3.13) oraz stałą całkowania C_1 , która jest taka sama jak w strefie plastycznej — wzór (3.16). Rozkład temperatury wyznaczmy podobnie jak w strefie plastycznej ze związku (2.8) przy znajomości τ''_{0c} , natomiast stan deformacji odpowiednio z równań (2.6) i (2.8). Naprężenia reszkowe otrzymamy także z równań (3.17), przy czym naprężenia S_r i S_θ należy wziąć ze strefy sprężystej.

3.3. Druga — zewnętrzna strefa plastyczna. Warunek uplastycznienia zewnętrznej powierzchni kuli będącej w stanie sprężystym, por. np. [2], [3] ÷ [5] jest następujący:

$$S = 1 \quad \text{dla} \quad \varrho = \beta, \quad (3.18)$$

gdzie S wyrażone jest równaniem (2.10) oraz równaniami na naprężenia S_r oraz S_θ w strefie sprężystej. Odpowiadającą temu stanowi temperaturę τ''_{0c} po dokonaniu odpowiednich przekształceń przedstawić można następująco,

$$\tau''_{0c} = \frac{2(\beta - 1) \cdot \left[\left(\frac{\beta}{\varrho'_c} \right)^3 + 1 \right]}{\left(\frac{\beta}{\varrho'_c} \right) \cdot \left[\left(\frac{\beta}{\varrho'_c} \right)^2 - 1 \right]}, \quad (3.19)$$

gdzie ϱ'_c jest promieniem strefy sprężysto-plastycznej w chwili gdy na zewnętrznej powierzchni kuli pojawi się drugie uplastycznienie, to znaczy gdy spełniony będzie warunek (3.18). Wartość promienia ϱ'_c określimy podstawiając w równaniu (3.13) w miejsce wartości ϱ_c wartość ϱ'_c i porównując je następnie z wyrażeniem (3.19). Korzystamy zatem ze związku $\tau_{0c}(\varrho_c = \varrho'_c) = \tau''_{0c}$. Z takiego porównania wynika, że w przeciwieństwie do materiału bez wzmocnienia — [3] ÷ [5], [11], temperatura τ''_{0c} lub co jest równoważne promień ϱ'_c — zależy nie tylko od parametru geometrii kuli β lecz także od współczynnika wzmocnienia m oraz od współczynnika Poissona ν . Dla przypadku materiału bez wzmocnienia ($m = 0$), promień ϱ'_c określić można po podstawieniu $\varrho_c = \varrho'_c$ we wzorze (3.14) oraz po porównaniu tego wzoru z (3.19). Czyli [5]:

$$\varrho'_{c|m=0} = \exp \left[\frac{2}{3} \cdot \frac{\left(\frac{\beta}{\varrho'_c} \right)^2 - 2 \left(\frac{\beta}{\varrho'_c} \right) + 1}{\left(\frac{\beta}{\varrho'_c} \right)} \right]. \quad (3.20)$$

Otrzymanie wyrażenia analogicznego do (3.20) lecz dla materiału ze wzmocnieniem nie jest możliwe ze względu na złożony i uwikłany charakter funkcji $\tau_{0c} = f(\varrho_c)$ — por. (3.13). W pracy [3] analizując problem uplastycznienia pierwszej i drugiej strefy plastycznej grubościennych kul, autorzy rozpatrzyli między innymi warunki występowania tych stref. Z uzyskanych przez tych autorów rezultatów wynika, że dla kul obciążonych tylko gradientem temperatury istnieją dwie możliwości pojawienia się drugiej strefy plastycznej i które to zależą tylko od parametru geometrii kuli β . Gdy mianowicie β jest większe od pewnego β_{cr} ($\beta \geq \beta_{cr}$), to drugie uplastycznienie pojawi się w ścianie kuli, natomiast gdy β jest mniejsze od tej wartości ($\beta \leq \beta_{cr}$) to uplastycznienie to pojawi się na zewnętrz-

nej powierzchni kuli i będzie propagować się do wewnątrz. W przypadku materiału bez wzmocnienia wartości $\beta_{cr} = 2.791$ była pierwszy raz określona w pracy [5] a następnie cytowana i używana w pracach [3] ÷ [4]. Dla przyjętego w obecnej pracy materiału sprężysto-plastycznego ze wzmocnieniem, wartość β_{cr} zależy dodatkowo od współczynnika wzmocnienia m i od współczynnika Poissona ν . Wartości β_{cr} i odpowiadające im temperatury τ''_{ocr} lub co jest równoważne — odpowiadające im promienie strefy sprężysto-plastycznej ϱ'_{cr} dla danego m i ν określa się z następującej zależności:

$$\frac{\partial S(\tau''_{ocr}, \varrho, m, \beta, \nu)}{\partial \varrho} \Big|_{\varrho=\beta} = \frac{\partial S(\varrho'_{cr}, \varrho, \beta, m, \nu)}{\partial \varrho} \Big|_{\varrho=\beta} = 0, \quad (3.21)$$

oraz z równań (3.13) i (3.19).

Funkcję S we wzorze (3.21) wyznaczyć należy z zależności (2.10) i równań naprężeniowych S_r , S_θ termosprężystości określonych dla górnej — sprężystej części badanej kuli. Otrzymane na drodze numerycznej rezultaty są przedstawione w tabeli pierwszej, dla wybranych wartości współczynnika wzmocnienia m z przedziału $\langle 0 \div 0.4 \rangle$ i dla przyjętego we wszystkich dalszych obliczeniach wartości współczynnika Poissona $\nu = 0.3$. Jest to jakościowo jeden z zasadniczych rezultatów uzyskanych w niniejszej pracy.

Tabela 1

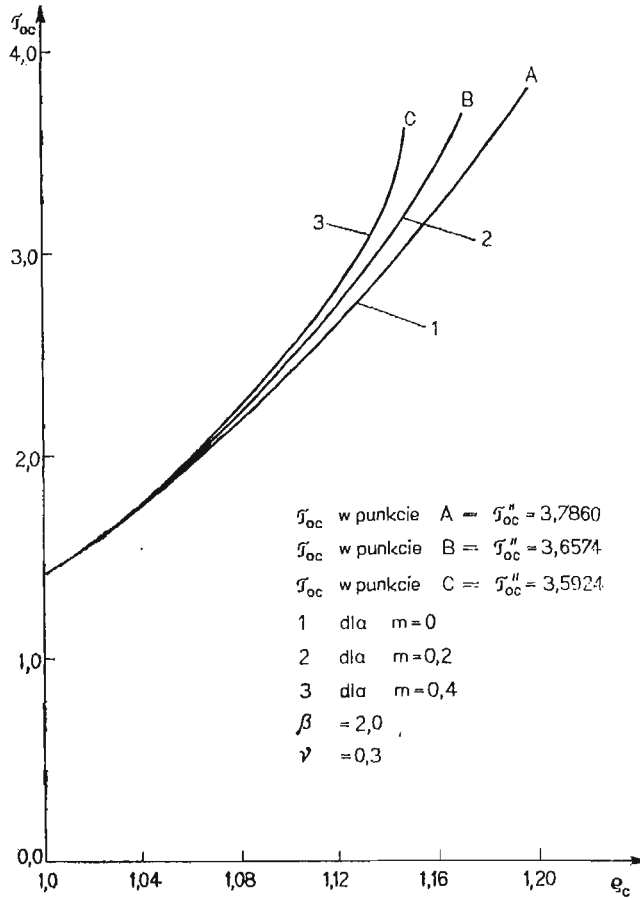
Współczynnik Poissona $\nu = 0.3$			
m	β_{cr}	τ''_{ocr}	ϱ'_{cr}
0.00	2.7910	5.3640	1.3950
0.10	2.6214	4.8643	1.3107
0.20	2.5453	4.6359	1.2726
0.30	2.4983	4.4948	1.2492
0.40	2.4655	4.3964	1.2328

Jak widać z powyższej tabeli, wyznaczone wartości β_{cr} , τ''_{ocr} , oraz ϱ'_{cr} maleją wraz ze wzrostem współczynnika wzmocnienia m .

4. Analiza otrzymanych wyników

Z tabeli pierwszej wynika, że dla przyjętego do obliczeń parametru geometrii kuli $\beta = 2$ oraz dla współczynnika Poissona $\nu = 0.3$, drugie uplastycznienie pojawi się na zewnętrznej powierzchni badanej kuli, co jest w zgodności z nałożonymi warunkami brzegowymi wyprowadzonych w punkcie trzecim równań.

Na rysunku trzecim wykreślono zależność τ_{oc} od ϱ_c dla trzech wybranych wartości parametru wzmocnienia m . Punkty „A”, „B”, „C”, oznaczają wartości temperatur τ_{oc} i odpowiednio wartości promienia ϱ_c w chwili gdy zaczyna się drugie plastyczne płynięcie na zewnętrznej powierzchni kuli. Jak widać temperatura τ'_{oc} maleje wraz ze wzrostem współczynnika wzmocnienia. Maleć będzie więc także temperatura τ'_c , oraz maleć będzie promień strefy sprężysto-plastycznej ϱ'_c . Dokładne określenie powyższych wielkości znaj-

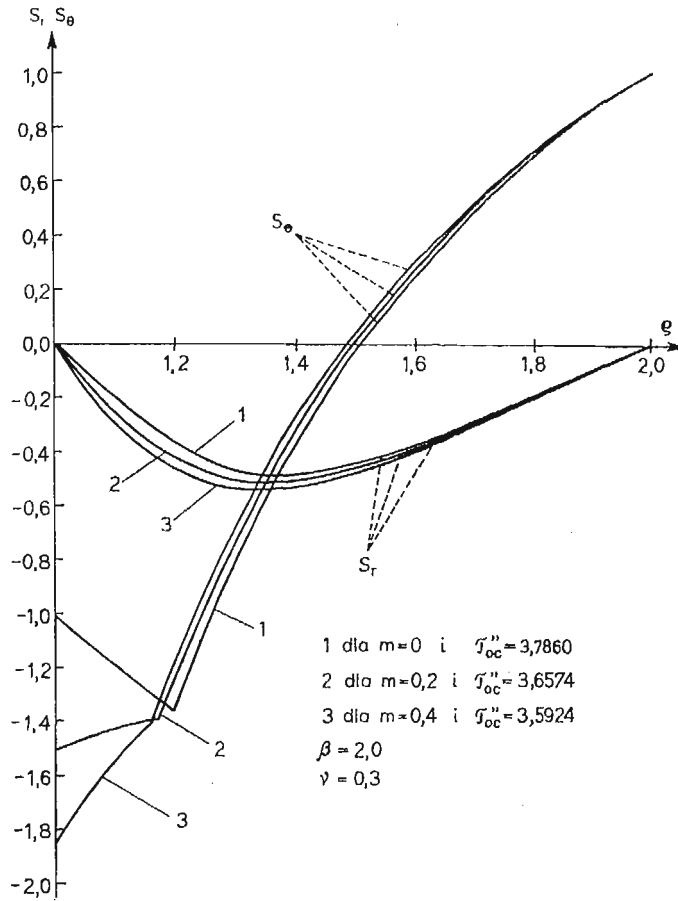


Rys. 3

duje się w tabeli drugiej, dla przyjętych wartości współczynnika geometrii kuli i współczynnika Poissona. Rysunki czwarty i piąty przedstawiają odpowiednio rozkład naprężeń i odkształceń w ścianie kuli podczas procesu obciążania i dla wybranych wartości parametru wzmocnienia m .

Tabela 2

m	$\bar{\sigma}_{oc}''$	τ_c''	e_c
0.00	3.7860	2.5400	1.1970
0.10	3.7078	2.5662	1.1820
0.20	3.6574	2.5856	1.1727
0.30	3.6207	2.6004	1.1640
0.40	3.5924	2.6123	1.1579

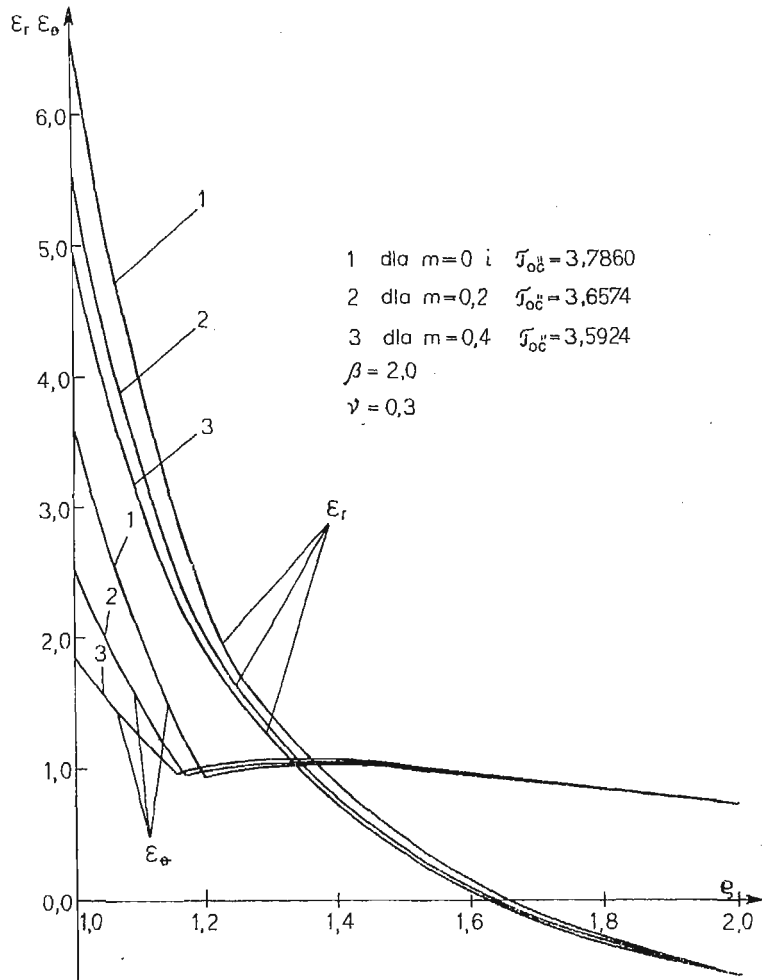


Rys. 4

Rozkład naprężeń resztkowych powstałych po procesie czystego sprężystego odciążenia zilustrowano na rysunku szóstym. Warunek aby proces odciążania przebiegał czysto sprężysto otrzymać można z równania na S_{θ}'' — (3.17)₄, po uwzględnieniu w nim wyrażenia (3.17)₅ i po przeprowadzeniu całkowania. Otrzymamy wówczas, por. np. [3]:

$$\tau_{0c}''r = \frac{4(\beta^2 + \beta + 1)}{\beta(2\beta + 1)} (-S_{\theta})|_{\rho=1} \geq \tau_{0c}'', \quad (4.1)$$

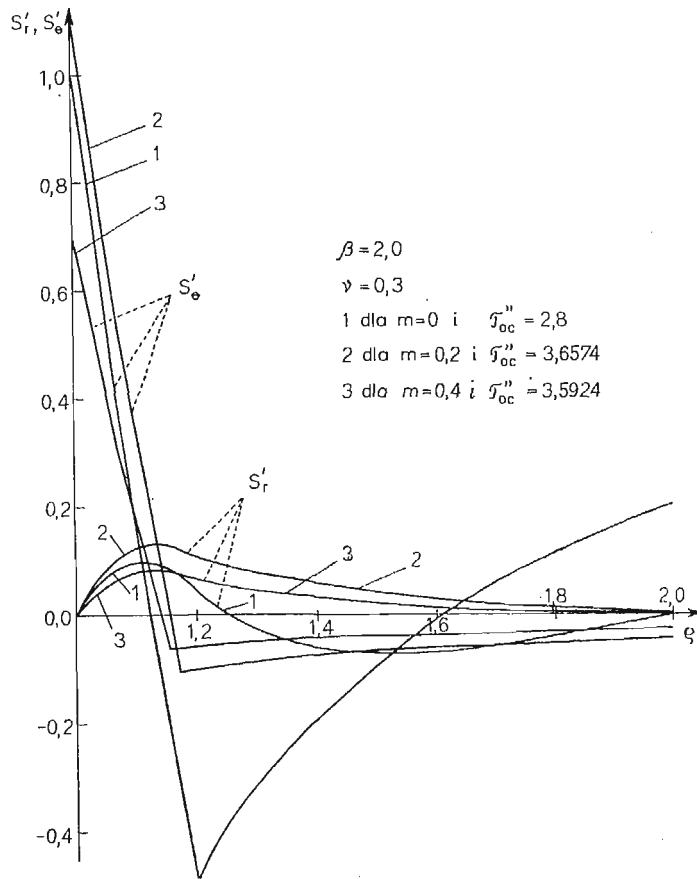
gdzie $\tau_{0c}''r$ oznacza maksymalną wartość temperatury jaką należy przyłożyć do wewnętrznej powierzchni kuli bez obawy, że w procesie odciążenia zachodzą lokalne procesy plastycznego płynięcia. W wyniku przeprowadzonych obliczeń z równania (4.1) wynika, że gdy $m \geq 0.11436$, to wówczas można przyłożyć temperaturę $\tau_{0c}''r$ w miejsce τ_{0c}'' aby zachodził proces czysto sprężystego odciążania. Powyższe przedstawiono w tabeli trzeciej. Dla przypadku materiału bez wzmocnienia mamy $(-S_{\theta})|_{\rho=1} = 1$, więc wartość temperatury $\tau_{0c}''r$ jest dwukrotnie większa od wartości temperatury potrzebnej do pierwszego



Rys. 5

Tabela 3

$\beta = 2.0 \quad \nu = 0.3$		
m	τ''_{0c}	τ''_{0e}
0.00	2.8000	3.7860
0.10	3.6000	3.7078
0.11436	3.6994	3.6994
0.20	4.2318	3.6574
0.30	4.7555	3.6207
0.40	5.2021	3.5923



Rys. 6

uplastycznienia wewnętrznej powierzchni kuli τ'_{oc} . Zatem wiedząc, że $\tau'_{oc} = 1.4$, mamy, por. np. [3]:

$$\tau''_{oc} = 2\tau'_{oc} = 2.8. \tag{4.2}$$

Dalsze rozwinięcie zagadnienia naprężeń resztkowych można przeprowadzić badając materiał kuli, w którym granica plastyczności zależy od temperatury. Takie próby były podejmowane lecz jedynie dla materiału bez wzmocnienia. W rozważanym przypadku przyjęcie granicy plastyczności jako niezależnej od temperatury jest uproszczeniem, gdyż otrzymane na podstawie równania (2.8) wymiarowe temperatury $T_a(m)$ wynoszą:

$$T_a = \begin{cases} 459 \text{ C}^\circ & \text{dla } m = 0.0, \\ 443 \text{ C}^\circ & \text{dla } m = 0.2, \\ 435 \text{ C}^\circ & \text{dla } m = 0.4. \end{cases} \tag{4.3}$$

Temperatury te odpowiadają punktom „A”, „B”, „C” z rysunku drugiego. Do obliczeń przyjęto: granicę plastyczności materiału $\sigma_0 = 4000 \text{ kG/cm}^2$, moduł Younga $E = 2.1 \times 10^6 \text{ kG/cm}^2$, współczynnik Poissona $\nu = 0.3$, oraz współczynnik rozszerzalności liniowej $\alpha = 11 \cdot 10^{-6} \text{ 1/K}$.

W zakończeniu warto dodać, że w przypadku kuli z materiału ze wzmocnieniem, podobnie jak w przypadku kuli z materiału bez wzmocnienia [5], pełne uplastycznienie ścianki kuli nastąpi dla temperatury τ_{0c} osiągającej wartość nieskończenie wielką.

Literatura cytowana w tekście

1. H. S. CARSLAW, J. C. JAEGER, *Conduction of Heat in Solids*, Oxford, 1947.
2. A. MENDELSON, *Plasticity: Theory and Application*, The Macmillan Company, New York 1968.
3. W. JOHNSON and P. B. MELLOR, *Elastic-plastic behaviour of thick-walled spheres of non-work-hardening material subject to a steady-state radial temperature gradient*, Int. Journal of Mech. Sciences, Vol. 4, 147, March - April 1962.
4. F. DRABBLE and W. JOHNSON, *The development of the Zones of Yielding in Thick-walled Spherical Shells of Non-work hardening Material Subjected to a Steady State Radial Temperatures Gradient and on Internal or External Pressure*. Conf. on Thermal Loading and Creep, Paper 19, Inst. Mech. Engrs., 1964.
5. G. R. COWPER, *The Elastoplastic Thick-Walled Sphere Subjected to a Radial Temperature Gradient*, Transaction of the ASME, Ser. E, J. Appl. Mech., Vol. 27, Ser. E, No. 3, 1960.
6. H. A. NIED and S. C. BATTERMAN, *On Coupled Thermoelasticity: An Exact Solution for a Spherical Domain*, Israel Journal of Technology, Vol. 9, Nos. 1 - 2, 1971 pp. 37 - 46.
7. B. RANIECKI, *Naprężenia w sprężysto-plastycznej kuli z pustką kulistą znajdującej się w zmiennym polu temperatur*, Rozpr. Inż. 3, 14, 1966.
8. B. RANIECKI, *A Quasistatic, Spherically Symmetric Problem of Thermoelasticity*, Bull. Acad. Sci., Ser. Sci. Techn., 2, 13, 1965.
9. H. PARKUS, *Spannungen beim Abkühlen einer Kugel*, Ing.-Arch., 28, 1959, pp. 251 - 254.
10. P. PERZYNA and A. SAWCZUK, *Problems of Thermoelasticity*, Nuclear Engineering and Design, 24, 1973, 1 - 55, North-Holland Publ. Comp.
11. M. G. DERRINGTON and W. JOHNSON, *The Onset of Yield in a Thick Spherical Shell Subject to Internal Pressure and Uniform Heat Flow*. Appl. Sci. Research, Series A, 7, 408, 1968.
12. W. JOHNSON and P. B. MELLOR, *Engineering Plasticity*, Van Nostrand Reinhold Company, London, 1973.
13. A. SAWCZUK, *A note on plastic expansion of irradiated spherical shells*, Nucl. Struct. Engn., 1, pp. 155 - 158, 1965.
14. R. S. BODNER, *Elasto-plastic Stress Analysis of Thick-Walled Spherical Shells Subjected to Radial Temperature Gradient*, AVCOR and D, Division, Lawrence, Mass, Report, No, RADT — R-2-57-25, 1957.
15. R. HILL, *The Mathematical Theory of Plasticity*, Clarendon Press, Oxford, 1950.
16. M. SOKOŁOWSKI, *Naprężenia cieplne w powłoce kulistej oraz cylindrycznej w przypadku materiałów o własnościach zależnych od temperatury*, Rozprawy Inżynierskie, Tom VIII, zeszyt 4, pp. 641 - 669, 1960.
17. W. NOWACKI, *Thermoelasticity*, Pergamon Press, Oxford, 1962.
18. W. NOWACKI, *Dynamiczne Zagadnienia Termosprężystości*, PWN, Warszawa, 1966.
19. J. S. SOKOLNIKOFF, *Mathematical Theory of Elasticity*, Mc Graw-Hill Book Company, Inc. New York, N.Y., second edition, 1956, pp. 362 - 364.
20. B. A. BOLEY and J. H. WEINER, *Theory of Thermal Stress*, Wiley, New York, 1960.

Резюме

ВЛИЯНИЕ ПАРАМЕТРА УПРОЧНЕНИЯ НА ПОВЕДЕНИЕ ТОЛСТОСТЕННОГО УПРУГО-ПЛАСТИЧЕСКОГО ШАРА ПОД НАГРУЗКОЙ ТЕМПЕРАТУРЫ

В работе исследовано влияние линейного параметра упрочнения на поведение толстостенного шара подвергнутого нагрузкой температуры. Изучено влияние параметра упрочнения на распределение температуры деформации, напряжения а также на положение упруго-пластической зоны.

Определено также критические величины геометрического параметра β для случая когда другая пластическая зона появляется снаружи шара.

S u m m a r y

ELASTIC-PLASTIC BEHAVIOUR OF THICK-WALLED SPHERE OF WORK-HARDENING MATERIAL SUBJECT TO A RADIAL TEMPERATURE GRADIENT

The paper consider the influence of strain-hardening on the behaviour of elastic-plastic thick walled sphere under temperature load. The distributions of temperature, strain, stress and localisation of elastic-plastic bound for various values of strain-hardening parameter are given. Critical values of geometrical parameter β for which form the second plastic zone are defined.

Praca została złożona w Redakcji dnia 9 listopada 1982 roku
